

УДК 535.375

## СПЕКТРЫ КОМБИНАЦИОННОГО РАССЕЯНИЯ СВЕТА МАЛЫХ ЧАСТОТ КРИСТАЛЛИЧЕСКИХ Н.-ПАРАФИНОВ

*Х. Е. Стерин и Б. Н. Маврин*

При гелиевой и азотной температурах получены спектры КР малых частот кристаллических н.-парафинов: гексана, гептана, октана, ионана и декана. Спектры возбуждались излучением  $\lambda=632.8$  нм Не—Не лазера и регистрировались фотоэлектрически. В интервале частот  $30-200$  см $^{-1}$  обнаружены 1—3 линии, которые отнесены к ориентационным колебаниям.

Несмотря на большое число публикаций, посвященных кристаллическим частотам органических соединений, спектры малых частот кристаллических н.-парафинов ранее не были получены. Между тем исследование н.-парафинов может представить определенный интерес, поскольку они используются в качестве матриц при наблюдении квазилинейчатых спектров Шпольского. И не исключено, что колебания кристаллической решетки матрицы могут проявиться в спектрах примесных молекул [1, 2].

В настоящей работе были получены спектры КР малых частот в области  $30-200$  см $^{-1}$  следующих н.-парафинов: гексана, гептана, октана, ионана и декана. Исследовались препараты чистоты ЧДА и для хроматографии, которые не подвергались дальнейшей очистке. Вещества в кварцевых кюветах толщиной 7 мм, охлажденные парами гелия или азота, представляли собой поликристаллическую массу. Спектры возбуждались линией 632.8 нм Не—Не лазера мощностью 40 мвт и регистрировались при наблюдении на иррасвят с помощью спектрометра «Кодэрг», Франция. Вид спектров в интересующей нас области показан на рис. 1. В каждом спектре наблюдались 1—3 линии (табл. 1), ширина которых

Таблица 1

Малые частоты  $\nu$  (см $^{-1}$ ), моменты инерции молекул  $I$  ( $\times 10^{10}$  г·см $^2$ )  
и размеры кристаллической ячейки  $a$ ,  $b$ ,  $c$  (Å) н.-парафинов

	Гексан		Гептан		Октан		Ионан		Декан	
	гелий	азот	гелий	азот	гелий	азот	гелий	азот	гелий	азот
$\nu_1$	—	—	—	—	47	—	—	—	—	—
$\nu_2$	75	73	63	62	66	64	56	54	60	58
$\nu_3$	88	85	78	75	72	70	65	63	(60)	—
$I_1$	700		1200		1670		2380		3260	
$I_2$	60		70		80		90		100	
$I_3$	770		1180		1790		2450		3390	
$a^*$	4.17		4.18		4.16		4.13		4.20	
$b^*$	4.70		4.78		4.75		4.70		4.75	
$c^*$	8.57		20.17		11.00		24.92		13.57	

\* Получены [4] при температурах выше азотной.

при гелиевой температуре примерно  $1 \text{ см}^{-1}$ . Частоты при азотной температуре оказались несколько меньше, чем при гелиевой, что, по-видимому, свидетельствует об уменьшении величины квазиупругих коэффициентов при нагревании. Кроме того, при азотной температуре исчезла низкочастотная линия в октане. В литературе известны только вычисленные значения малых частот н.-гексана [8] — 49, 57 и  $74 \text{ см}^{-1}$ , — которые отличаются от измеренных величин.

Согласно рентгеноструктурным данным [4, 5], рассматриваемые парафины относятся к пространственной группе  $P\bar{1}$ . Четные парафины

(с четным числом углеродов в молекуле) имеют по одной молекуле в элементарной ячейке, а нечетные — по две. В кристаллическом состоянии углеродные остатки молекул имеют форму плоских зигзагов, длинные оси которых параллельны друг другу. В элементарной ячейке кристалла молекула четного парафина находится в центре инверсии (местная группа  $C_i$ ), а нечетных — лишь в общем положении. Результаты теоретико-группового анализа колебаний малых частот кристаллических парафинов приведены в табл. 2.

Прежде чем перейти к более детальному обсуждению результатов настоящих измерений, попытаемся провести классификацию спектральных линий, исходя из их качественных особенностей. Большинство спектров имеют по две линии (рис. 1), интенсивность одной из них более или менее сохраняется в изучаемом ряду, интенсивность другой убывает с ростом длины цепи молекулы. Легко также заметить, что и в четном, и в нечетном ряду более слабая линия приближается к интенсивной (в четном ряду слабая линия быстрее приближается к интенсивной). Причем наличие в спектре декана всего одной линии наводит на мысль, что здесь две линии совпали (в табл. 1 два раза указано одно и то же значение).

Согласно этим признакам, линии каждого спектра были отнесены

Рис. 1. Область малых частот спектров КР кристаллических н.-парафинов при гелиевой температуре; ширина щелей монохроматора  $2 \text{ см}^{-1}$ .  
1 — гексан, 2 — гептан, 3 — октан, 4 — nonan, 5 — декан.

к трем типам —  $\nu_1$ ,  $\nu_2$  и  $\nu_3$ . Поскольку в спектрах КР четных парафинов разрешены только ориентационные движения (табл. 2), линии каждого типа в этом ряду и их частоты естественно было связать с движением вокруг определенной оси молекулы. В нечетном же ряду (табл. 2) возможны два типа движения — ориентационные и трансляционные. Но поскольку в этом ряду наблюдаемые линии ведут себя так же, как и в четном, их тоже можно было отождествить с ориентационным движением относительно тех же осей, что и в четном ряду.

В случае гармонических колебаний частоты ориентационных движений  $\nu$  (в обратных сантиметрах) можно представить выражением

$$\nu^2 = \frac{k}{4\pi^2 c^2 I}.$$

Здесь  $I$  — момент инерции молекулы относительно оси, вокруг которой происходит данное ориентационное движение,  $\text{г} \cdot \text{см}^2$ ,  $k$  — соответствующий квазиупругий коэффициент,  $\text{дин} \cdot \text{см}$ ,  $c$  — скорость света,  $\text{см} \cdot \text{сек.}^{-1}$ . Округленные значения моментов инерции приведены в табл. 1:

$I_2$  — относительно оси с наименьшим моментом инерции (длинной оси углеродного зигзага);  $I_1$  — относительно оси, лежащей в плоскости углеродного зигзага и перпендикулярной его длинной оси;  $I_3$  — относительно оси, перпендикулярной плоскости углеродного зигзага.

Таблица 2

	Гексан, октан, декан	Гептан, нонан
Всего малых частот . . . . .	$3A_g$	$6A_g + 3A_u$
Трансляционные . . . . .	0	$3A_g$
Ориентационные . . . . .	$3A_g$	$3A_g + 3A_u$

Остается выяснить вопрос об отнесении тех или иных  $\nu$  к определенным моментам инерции  $I_i$ . Можно попытаться это сделать, рассматривая поведение  $k$  в изучаемом ряду парафинов. Прежде всего заметим, что,

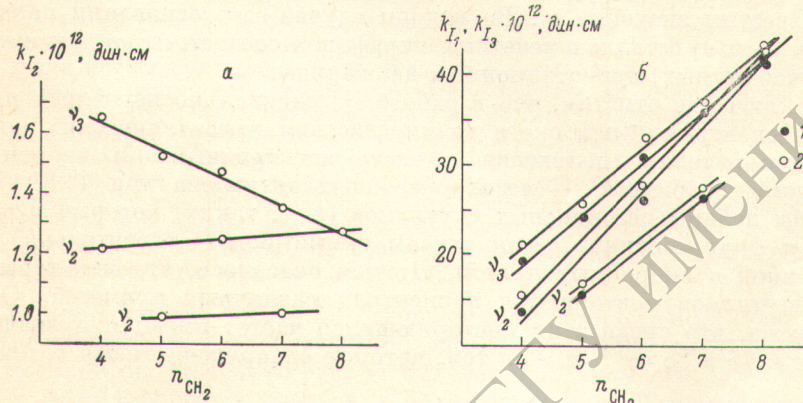


Рис. 2. Зависимости квазиупругих коэффициентов  $k$  от числа  $n$  групп  $\text{CH}_2$ .

Каждая линия относится к одному ряду частот  $\nu_1$  или  $\nu_3$ . На рис. 2, б точки 1 относятся к  $k_{I_1}$ , точки 2 — к  $k_{I_3}$ .

поскольку измеренные значения  $\nu_1$ ,  $\nu_2$  и  $\nu_3$  в каждом спектре сравнительно близки друг другу, порядок величины  $k$  определяется значением  $I$ . И при любой комбинации  $\nu_1$ ,  $\nu_2$  и  $\nu_3$  с  $I_1$  порядок величины  $k_{I_2} \sim 10^{-12}$  дин  $\times$  см, а  $k_{I_1}$  и  $k_{I_3} \sim 10^{-11}$  дин  $\cdot$  см. Для сравнения можно заметить, что в кристаллах парадигалоидбензолов  $k_{\text{вращ.}}$  по порядку величины также равны  $10^{-12}$  дин  $\cdot$  см [6, 7]. По-видимому, с увеличением числа  $n$  групп  $\text{CH}_2$   $k$  может возрастать или по крайней мере оставаться постоянным, но не убывать. Ибо, согласно рентгеноструктурным данным (табл. 1), с изменением  $n$  расстояния между молекулами в кристаллах парафинов каждого ряда не изменяются. В то же время, если  $k$  определяются взаимодействием водородов групп  $\text{CH}_2$ , то они должны возрастать с увеличением  $n$ . Аналогичный вывод о пропорциональности квазиупругого коэффициента длине молекулы или площади ее контура сделан в [8] на основании изучения частот вращательных качаний в спектрах КР дифенила и терфенила.

Зависимости  $k_{I_i}$  от  $n$  представлены графически на рис. 2.

$k_{I_2}$  (рис. 2, а). Для частот  $\nu_3$   $k_{I_2}$  убывает с увеличением  $n$  и в четном, и в нечетном ряду. Согласно предыдущему,  $\nu_3$  не должно относиться к  $I_2$ . Для частот  $\nu_2$   $k_{I_2}(n)$  постоянны в пределах ошибок измерений, но различны в четном и нечетном ряду: у четных парафинов  $k_{I_2}$  больше. Постоянство  $k_{I_2}$  могло бы означать, что в ориентационном движении вокруг оси зигзага с наименьшим моментом инерции основной вклад в квазиупругие коэффициенты привносит только взаимодействие концов

молекул. Это, кстати, согласуется с относительной малостью величин  $k_{I_2}$ . А неравенство  $k_{\text{четн.}} > k_{\text{нечетн.}}$  соответствует рентгеноструктурным данным (табл. 1) о том, что расстояние в кристалле вдоль оси зигзага между молекулами четных парафинов меньше, чем между молекулами нечетных.

$k_{I_1}$ ,  $k_{I_3}$  (рис. 2, б). Для частот  $\nu_3$   $k_{I_1}$  и  $k_{I_3}$  в грубом приближении пропорциональны  $n$ , т. е. все точки практически ложатся на одну прямую. Поскольку у четных парафинов расстояние между молекулами вдоль оси  $c$  меньше, чем у нечетных, то, по-видимому, основной вклад в величины  $k$  вносит боковое взаимодействие цепей молекул, а не взаимодействие их концов. В противном случае график четных парафинов лежал бы выше графика нечетных. Для частот  $\nu_2$   $k_{I_1}$  и  $k_{I_3}$  четного ряда также пропорциональны  $n$ ; точки нечетного ряда лежат заметно ниже. Последнее может свидетельствовать о заметном вкладе взаимодействия концов молекул в величины  $k$ .

Таким образом, надо выбрать две допустимых возможности из следующих: 1)  $\nu_2$  соответствуют  $I_2$ ,  $\nu_3$  соответствуют  $I_3$  (или  $I_1$ ); 2)  $\nu_2$  соответствуют  $I_1$  (или  $I_3$ ),  $\nu_3$  соответствуют  $I_3$  (или  $I_1$ ). Однозначный выбор между этими вариантами затруднителен. Он, возможно, упростился бы, если бы были известны значения  $\nu_1$ . Во всяком случае есть основания полагать, что  $\nu_2$  и  $\nu_3$  в кристаллах нечетных парафинов соответствуют так же, как и в случае четных, ориентационным движениям.

В заключение отметим, что в работе [2] специально изучалось проявление в спектрах Шпольского взаимодействия кристаллических колебаний растворителя — н.-гексана с чисто электронными и вибронными переходами в примесях — мезонпроизводных антрацена при 4°К. Были получены наборы резонансных спутников (т. е. таких, которые в поглощении и флуоресценции расположены симметрично относительно чисто электронной и вибронных линий). Причем оказалось, что некоторые частоты спутников повторяются в спектрах различных примесей. Оказалось также, что среди этих повторяющихся частот имеются и значения, близкие к 75 и 88  $\text{см}^{-1}$ , т. е. к тем, которые обнаружены нами в гексане.

### Литература

- [1] Р. И. Персонов, И. С. Осадько, Э. Д. Годяев, Е. И. Альшип. ФТТ, 13, 2653, 1971.
- [2] Т. Н. Болотникова, Л. Ф. Уткина, В. Н. Яковенко. Опт. и спектр., 33, 354, 1972.
- [3] A. Warshel, S. Lifson. J. Chem. Phys., 53, 582, 1970.
- [4] N. Norgman, H. Mathisen. Acta Chem. Scand., 15, 1755, 1961.
- [5] А. И. Китайгородский. Молекулярные кристаллы. Изд. «Наука», М., 1971.
- [6] Е. Ф. Гросс, А. В. Коршунов, В. А. Селькин. ЖЭТФ, 22, 579, 1952.
- [7] М. М. Сущинский. Спектры комбинационного рассеяния молекул и кристаллов. Изд. «Наука», М., 1969.
- [8] А. В. Коршунов, А. Ф. Бондарев, Е. К. Тустановская. Спектроскопия. Методы и применение. АН СССР, Сибирское отделение, Комиссия по спектроскопии. Изд. «Наука», М., 1964.

Поступило в Редакцию 18 апреля 1973 г.